

Untersuchung von Quantensystemen mit gitterfeldtheoretischen Methoden

Eine Betrachtung von Quark Confinement im Rahmen der
 $SU(2)$ -Eichsymmetrie

Heinrich v. Campe

17.09.2021

Das Pfadintegral – Erwartungswerte

- Ziel: Berechnung von Erwartungswerten

$$\langle O \rangle = \frac{1}{Z} \int \mathcal{D}[x] O[x] e^{-S[x]}, \quad Z = \int \mathcal{D}[x] e^{-S[x]}.$$

- Ansatz: Generierung von $\{x^\alpha\}$ gem.

$$P^{\text{Feyn}}[x] \mathcal{D}[x] = \frac{1}{Z} e^{-S[x]} \mathcal{D}[x]$$

$$\rightarrow \overline{O} = \frac{1}{N} \sum_{\alpha=1}^N O[x^\alpha] \xrightarrow{N \rightarrow \infty} \langle O \rangle.$$

Markov-Ketten

- Zustand charakterisiert durch x , Übergangswahrscheinlichkeit $W(x, x')$ mit $\int dx' W(x, x') = 1 \forall x$
- Wahrscheinlichkeit für mehrschrittigen Prozess:

$$W^{(2)}(x, x') = \int d\tilde{x} W(x, \tilde{x}) W(\tilde{x}, x'),$$

Markov-Ketten

- Zustand charakterisiert durch x , Übergangswahrscheinlichkeit $W(x, x')$ mit $\int dx' W(x, x') = 1 \forall x$
- Wahrscheinlichkeit für mehrschrittigen Prozess:

$$\begin{aligned} W^{(n)}(x, x') &= \int dx_1 dx_2 \dots dx_{n-1} W(x, x_1) W(x_1, x_2) \dots W(x_{n-1}, x') \\ &= \int d\tilde{x} W^{(n-1)}(x, \tilde{x}) W(\tilde{x}, x'). \end{aligned}$$

Gleichgewichtszustand

- Freedman & Creutz [1]: $\lim_{n \rightarrow \infty} W^{(n)}(x, x') = P(x')$
- „Eigenvektor“:

$$\begin{aligned}
 P(x') &= \lim_{n+1 \rightarrow \infty} W^{(n+1)}(x, x') \\
 &= \lim_{n \rightarrow \infty} \int d\tilde{x} W^{(n)}(x, \tilde{x}) W(\tilde{x}, x') \\
 &= \int d\tilde{x} P(\tilde{x}) W(\tilde{x}, x')
 \end{aligned}$$

Detailed Balance

- Bedingung:

$$\frac{W(x, x')}{W(x', x)} = \frac{P(x')}{P(x)}.$$

- Implikation der Eigenwertgleichung:

$$\int dx P(x) W(x, x') = \int dx P(x) \frac{P(x')}{P(x)} W(x', x) = P(x') \int dx W(x', x)$$

- Anwendung auf P^{Feyn} :

$$\frac{W(x, x')}{W(x', x)} = \frac{e^{-S[x']}}{e^{-S[x]}} =: e^{-\Delta S[x', x]}$$

Metropolis-Algorithmus

- Kern: Übergangswahrscheinlichkeit

$$W(x, x') = \begin{cases} 1 & \text{wenn } \Delta S < 0, \\ e^{-\Delta S} & \text{sonst.} \end{cases}$$

- Einhaltung der Detailed Balance: Sei $S[x'] < S[x]$

$$W(x, x') = 1, \quad W(x', x) = e^{-(S[x] - S[x'])} \rightarrow \frac{W(x, x')}{W(x', x)} = \frac{e^{-S[x']}}{e^{-S[x]}}.$$

...in der Praxis

- Trajektorie als Array $x = \{x_1, x_2, \dots\}$, genannt „Gitter“
- „Sweep“: eine Iteration über alle $x_i \in x$
- ΔS für einzelnes $x_i \mapsto x'_i$ leichter zu berechnen
- wähle x'_i „nah“ an x_i
- mehrere (N_{hit}) Iterationen je Element x_i

Rekapitulierung

- 1 Ziel: Berechnung von Erwartungswerten $\langle O \rangle$ mit Pfadintegralen
- 2 Ansatz: Generiere Trajektorien x^α , die nach P^{Feyn} verteilt sind
- 3 nutze den Metropolis-Algorithmus, hierfür die Wirkung S des betrachteten Systems benötigt

Yang-Mills-Wirkung

- Eichtransformation der Felder $\psi(x) \mapsto \Omega(x)\psi(x)$, $\Omega(x) \in \text{SU}(2)$
- kovariante Ableitung $D_\mu(x)\psi(x) \mapsto \Omega(x)D_\mu(x)\psi(x)$ benötigt Eichfeld $A(x)$
- Dynamik beschrieben durch

$$S_{\text{YM}}[A] = \frac{1}{2g^2} \int d^4x \, \text{tr} [F_{\mu\nu}(x)F^{\mu\nu}(x)],$$

$$F_{\mu\nu}(x) = -i[D_\mu(x), D_\nu(x)] = \partial_\mu A_\nu(x) - \partial_\nu A_\mu(x) + i[A_\mu(x), A_\nu(x)]$$

- vereinfachte Darstellung, für Details s. Gattringer & Lang [2]

Paralleltransporte

- betrachteter Raum:

$$\Lambda = \{0, 1, \dots, L_t - 1\} / (0 \sim L_t - 1) \times (\{0, 1, \dots, L_s - 1\} / (0 \sim L_s - 1))^3$$

- definiere Paralleltransporte

$$U_\mu(x) = \begin{array}{cccc} & \bullet & & \bullet & & \bullet & & \bullet \\ & & & & & & & \\ U_\mu(x) = & \bullet & \xrightarrow{\text{red arrow}} & \bullet & & \bullet & & \bullet \\ & & & & & & & \\ & \bullet & & \bullet & & \bullet & & \bullet \end{array}$$

mit

$$U_\mu(x) \mapsto \Omega(x) U_\mu(x) \Omega(x + a_\mu)^\dagger$$

- dadurch kovariante numerische Ableitung möglich

Wilson-Wirkung

- definiere

$$S_{\text{Wilson}} = \frac{\beta}{2} \sum_{x \in \Lambda} \sum_{\mu < \nu} \text{Re tr} [\mathbb{1} - U_{\mu\nu}(x)], \beta = \frac{2N_c}{g^2} = \frac{4}{g^2}$$

- ...mit Plaquette

$$U_{\mu\nu}(x) = \text{Diagram of a square plaquette} = U_\mu(x) U_\nu(x + a_\mu) U_\mu(x + a_\nu)^\dagger U_\nu(x)^\dagger$$

The diagram shows a square with four vertices. The bottom edge is a red arrow pointing right. The right edge is a blue arrow pointing up. The top edge is an orange arrow pointing left. The left edge is a brown arrow pointing down. Small arrows at the vertices indicate the direction of the path around the square.

- man findet

$$S_{\text{Wilson}} \xrightarrow{a \rightarrow 0} S_{\text{YM}}$$

...in der Praxis

$$U_\mu(x) = \text{blue arrow}, \quad U'_\mu(x) = \text{red arrow}$$

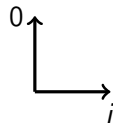

$$\rightarrow \Delta S = -\frac{\beta}{2} \sum_{\nu \neq \mu} \text{tr} \left[\begin{array}{cccc} \begin{array}{|c|} \hline \text{square with red bottom edge} \\ \hline \end{array} & \begin{array}{|c|} \hline \text{square with blue bottom edge} \\ \hline \end{array} & \cdot & \cdot & \cdot \\ \cdot & \cdot & \cdot & \cdot & \cdot \end{array} \right] + \begin{array}{cc} \begin{array}{|c|} \hline \text{square with red top edge} \\ \hline \end{array} & \begin{array}{|c|} \hline \text{square with blue top edge} \\ \hline \end{array} \\ \cdot & \cdot \end{array}$$

$$= -\frac{\beta}{2} \text{tr} \left[\begin{pmatrix} \cdot & \cdot & \cdot & \cdot \\ \text{red arrow} & - & \text{blue arrow} & \\ \cdot & \cdot & \cdot & \cdot \end{pmatrix} \times \sum_{\nu \neq \mu} \begin{pmatrix} \begin{array}{|c|} \hline \text{square with red top edge} \\ \hline \end{array} & \cdot & \cdot \\ \cdot & \cdot & \cdot \\ \cdot & \cdot & \begin{array}{|c|} \hline \text{square with red bottom edge} \\ \hline \end{array} \end{pmatrix} \right]$$

Rekapitulierung

- 1 Ziel: Berechnung von Erwartungswerten $\langle O \rangle$ mit Pfadintegralen
- 2 Ansatz: Generiere Trajektorien x^α , die nach P^{Feyn} verteilt sind
- 3 nutze den Metropolis-Algorithmus, hierfür die Wirkung S des betrachteten Systems benötigt
- 4 für das SU(2)-Eichfeld auf einem Gitter eignet sich S_{Wilson} .

Wilson-Loops



- Verallgemeinerung der Plaquette

$$W(3, 2) = \text{tr} \left[\begin{array}{c} \leftarrow \text{---} \bullet \text{---} \bullet \text{---} \rightarrow \\ \downarrow \text{---} \bullet \text{---} \bullet \text{---} \uparrow \\ \bullet \qquad \bullet \\ \downarrow \text{---} \bullet \text{---} \bullet \text{---} \uparrow \\ \leftarrow \text{---} \bullet \text{---} \bullet \text{---} \rightarrow \end{array} \right]$$

- Erwartungswert (Beweis s. Rothe [4])

$$\langle W(r, t) \rangle \xrightarrow{t \rightarrow \infty} A \cdot e^{-tV(r)}.$$

SU(2)-Matrizen

- Eigenschaften von Elementen $U \in SU(2)$:

$$U \in \mathbb{C}^{2 \times 2}, U^\dagger U = UU^\dagger = \mathbb{1}, \det U = 1$$

- Darstellung nach Urbach & Petschlies [3]:

$$U = \begin{pmatrix} a & b \\ -b^* & a^* \end{pmatrix}, \quad a, b \in \mathbb{C}, \quad |a|^2 + |b|^2 = 1.$$

- Zufallsgenerierung über Isomorphismus

$$\phi : S^3 \rightarrow SU(2),$$

$$(x^0, \vec{x}) \mapsto x^0 \mathbb{1} + i \vec{x} \cdot \vec{\sigma},$$

$$\rightarrow \begin{pmatrix} x^0 \\ x^1 \\ x^2 \\ x^3 \end{pmatrix} = \begin{pmatrix} \cos(\chi) \sin(\vartheta) \cos(\varphi) \\ \sin(\chi) \sin(\vartheta) \cos(\varphi) \\ \sin(\chi) \sin(\vartheta) \sin(\varphi) \\ \sin(\chi) \cos(\vartheta) \end{pmatrix}, \quad \begin{aligned} \chi &\in (0, 2\pi \cdot \delta), \\ \varphi &\in (0, 2\pi), \\ \cos(\vartheta) &\in (-1, 1). \end{aligned}$$

Rekapitulation

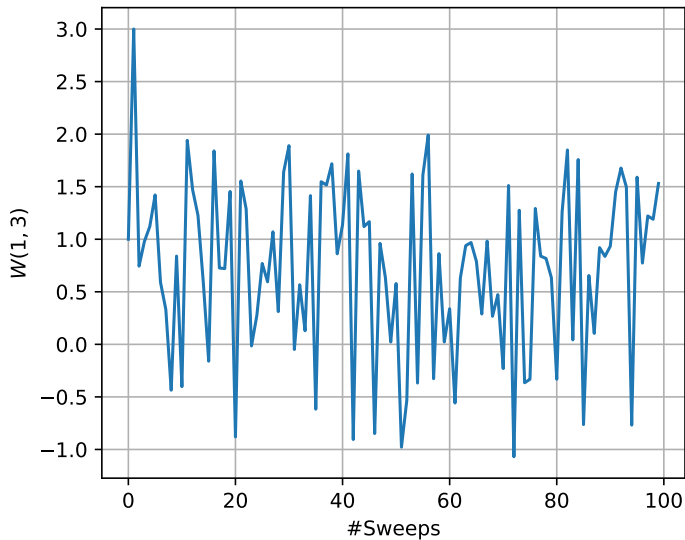
- 1 Ziel: Berechnung von Erwartungswerten $\langle O \rangle$ mit Pfadintegralen
- 2 Ansatz: Generiere Trajektorien x^α , die nach P^{Feyn} verteilt sind
- 3 nutze den Metropolis-Algorithmus, hierfür die Wirkung S des betrachteten Systems benötigt
- 4 für das SU(2)-Eichfeld auf einem Gitter eignet sich S_{Wilson} (unter Verwendung der Paralleltransporte $U_\mu(x)$).
- 5 Untersuchung des statischen Potentials mit Wilson-Loops als Observable:

$$\langle W(r, t) \rangle \xrightarrow{t \rightarrow \infty} A \cdot e^{-tV(r)}.$$

Exemplarische main-Funktion

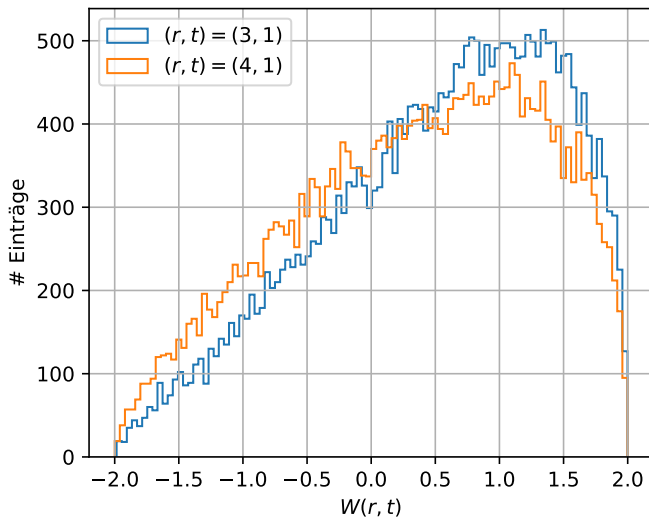
```
int main() {  
    ...  
    for (std::size_t i=0; i < 1000; i++) {  
        sweep(U, beta, delta, iterationsPerSight, engine);  
    }  
    ...  
    for (std::size_t i=0; i < 20000; i++) {  
        results.push_back(getSqrt2Loop(U, 2));  
  
        for (size_t j = 0; j < 5; j++) {  
            sweep(U, beta, delta, iterationsPerSight, engine);  
        }  
    }  
    ...  
    return 0;  
}
```

Einzelne Messungen

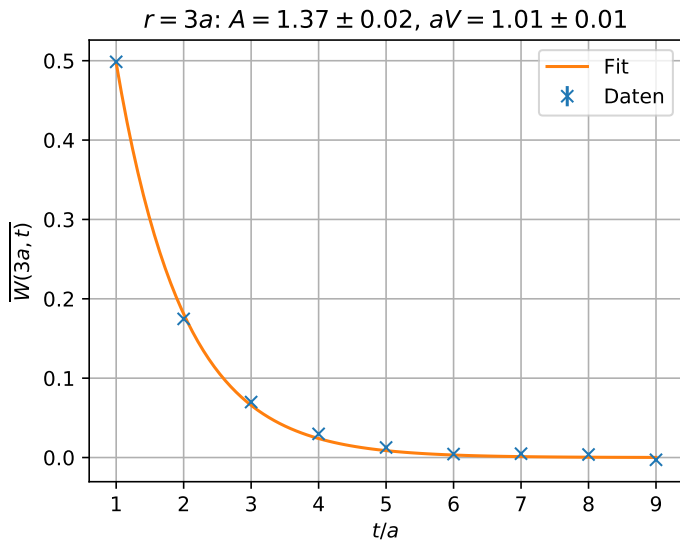


Verteilung der Messwerte

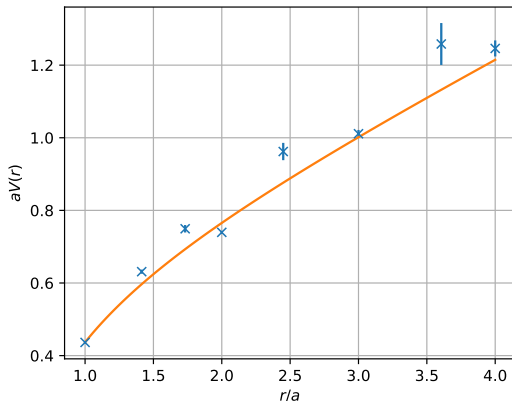
$$\overline{W(3, 1)} = 0.4985 \pm 0.0030, \overline{W(4, 1)} = 0.3270 \pm 0.0032$$



Extrahierung des statischen Potentials (i)



Extrahierung des statischen Potentials (ii)



Modell:

$$aV(r) = -\frac{A}{r} + B + \sigma \cdot r$$

Ergebnis:

$$A = (0.277 \pm 0.024)a$$

$$B = (0.524 \pm 0.034)$$

$$\sigma = (0.189 \pm 0.010) \frac{1}{a}$$

Was gibt es als Nächstes zu tun?

- Fehlerbetrachtung verbessern
- wirklich der Grundzustand? → größere Gitter vermessen, effektive Masse betrachten
- $SU(3)$ untersuchen

Literatur



M Creutz und B Freedman. „A statistical approach to quantum mechanics“. In: *Annals of Physics* 132.2 (1981), S. 427–462.



Christof Gattringer und Christian Lang. *Quantum chromodynamics on the lattice: an introductory presentation*. Bd. 788. Lecture Notes in Physics. Springer Science & Business Media, 2009. Kap. 2, 3.



M Petschlies und C Urbach. *Computational Physics*. 2020.



Heinz J Rothe. *Lattice gauge theories: an introduction*. Bd. 74. World Scientific Publishing Company, 2005. Kap. 7.